

## 9. Materiały w wysokich temperaturach

Większość właściwości materiałów ulega znaczącym zmianom w podwyższonych temperaturach. Charakter tych zmian może być różnorodny - możemy obserwować zmiany liniowe (np. gęstość, moduł Younga), ale także np. eksponencjalne (tempo dyfuzji, korozji wysokotemperaturowej). Szczególnie istotne w wysokich temperaturach staje się nowe, do tej pory nie omawiane przez nas zjawisko - pełzanie.

### 9.1. Właściwości materiału a temperatura

Dla każdego materiału możemy scharakteryzować minimalną i maksymalną temperaturę pracy. Temperatura minimalna zazwyczaj związana jest z kruchością materiałów w niskich temperaturach i jest parametrem empirycznym. Szczególnym przypadkiem są elastomery, w których minimalna temperatura pracy zazwyczaj wynosi około  $0.8 T_g$  (temperatury zeszklenia). Maksymalna temperatura pracy jest również parametrem zgrubnym - charakteryzuje przybliżoną temperaturę, w której materiał zachowuje swoje właściwości mechaniczne na "przyzwoitym" poziomie, przy ograniczonym tempie korozji, braku przemian chemicznych itp.

#### 9.1.1. Zależności temperaturowe

Część właściwości zależy od temperatury w sposób liniowy. Ogólny wzór takich funkcji ma następującą postać:

$$P = P_0 \left( 1 + \beta \frac{T}{T_m} \right) \quad (9.1)$$

gdzie  $P$  - dana właściwość,  $P_0$  - jej wartość w niskiej temperaturze,  $\beta$  - współczynnik kierunkowy prostej. Przykładami wielkości o tego typu przebiegu temperaturowym mogą być gęstość ( $\beta \approx -0.06$ ), moduł Younga ( $\beta \approx -0.5$ ), współczynnik załamania światła ( $\beta \approx -0.06$ ) czy, w przypadku metali, przewodnictwo elektryczne ( $\beta \approx 2$ ).

Przykładem zjawiska niepodlegającego prawu liniowemu, a które jest niezwykle istotne pod kątem bieżących zajęć, jest dyfuzja. Temperaturowa zależność współczynnika dyfuzji  $D$  może zostać opisana z wykorzystaniem tzw. relacji Arrheniusa, typowej dla procesów aktywowanych termicznie:

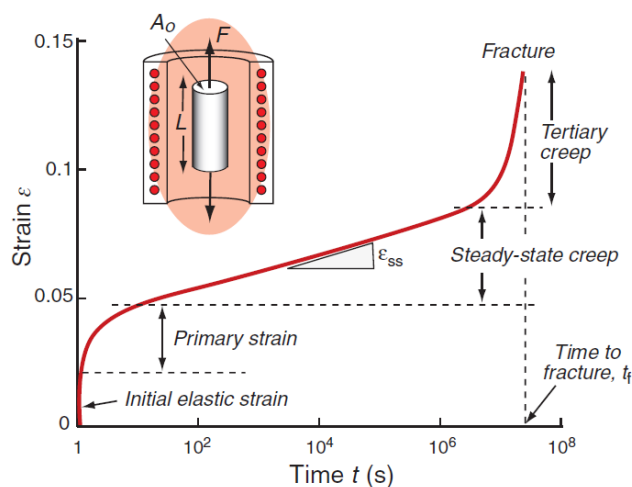
$$D = D_0 \exp\left(-\frac{E_a}{RT}\right) \quad (9.2)$$

gdzie:  $D_0$  - współczynnik przedeksponencjalny,  $R$  - stała gazowa,  $E_a$  - energia aktywacji. O zjawisku dyfuzji można by było opowiadać w ramach osobnego przedmiotu (...), nas jednak będzie interesowało przede wszystkim jako źródło innego zjawiska - pełzania.

#### 9.1.2. Pełzanie

W dotychczas rozważanych przez nas zakresach niskich i umiarkowanych temperatur, odkształcenie materiałów zależało tylko i wyłącznie od naprężenia. W przypadku zakresu wysokich temperatur, dodatkowo pojawia się zależność od czasu. Nawet stosunkowo niewielkie naprężenia, które nie byłyby w stanie w temperaturze pokojowej odkształcić materiału w sposób trwały, w wysokich temperaturach mogą spowodować pogłębiające się z czasem odkształcenie materiału, prowadzące do jego zniszczenia. I to właśnie jest istotą zjawiska pełzania.

Badanie zjawiska pełzania jest stosunkowo proste - obciążony materiał umieszczany jest w piecu o określonej temperaturze, a jego odkształcenie jest mierzone w funkcji czasu. Przykładowa krzywa pomiarowa przedstawiona została poniżej:



**Fig. 9.1.** Przykładowa krzywa pełzania z wyszczególnionymi poszczególnymi etapami procesu.

Pierwsze dwa etapy (*initial elastic* oraz *primary strain*) zachodzą w bardzo krótkim okresie czasu i są stosunkowo mało interesujące. Następny etap (*steady-state creep* - równowagowe pełzanie), jest już jednak dużo bardziej istotny, jako że występuje przez przeważającą większość czasu życia próbki. W tym zakresie tempo odkształcenia  $\dot{\epsilon}_{ss}$  można powiązać z naprężeniem  $\sigma$  poprzez zależność:

$$\dot{\epsilon}_{ss} = B\sigma^n \quad (9.3)$$

Wartość wykładnika  $n$  będzie zależała od rozpatrywanego zakresu naprężeń. Dla dużych naprężeń zawiera się on w przedziale 3 do 8 (tzw. *power-law creep*), dla mniejszych wynosi 1 (tzw. *plynięcie dyfuzyjne - diffusional flow*). Co istotne, zależność pomiędzy  $\dot{\epsilon}_{ss}$  a temperaturą ma charakter relacji Arrheniusa:

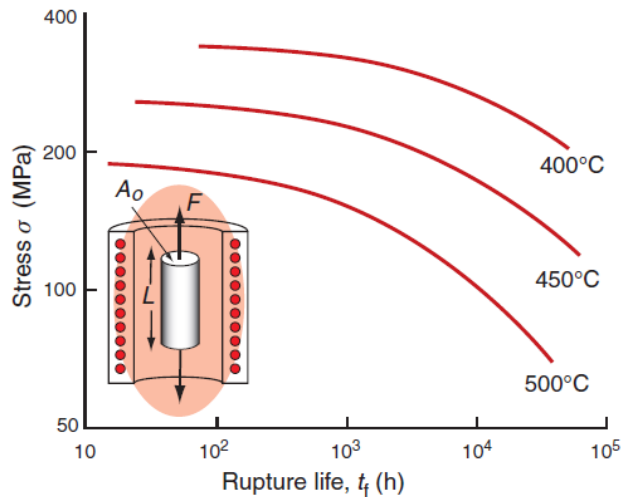
$$\dot{\epsilon}_{ss} = C \exp\left(-\frac{Q_c}{RT}\right) \quad (9.4)$$

gdzie  $Q_c$  jest energią aktywacji pełzania. Łącząc ze sobą równania (9.3) i (9.4) otrzymujemy:

$$\dot{\epsilon}_{ss} = C' \sigma^n \exp\left(-\frac{Q_c}{RT}\right) = \dot{\epsilon}_0 \left(\frac{\sigma}{\sigma_0}\right)^n \exp\left(-\frac{Q_c}{RT}\right) \quad (9.5)$$

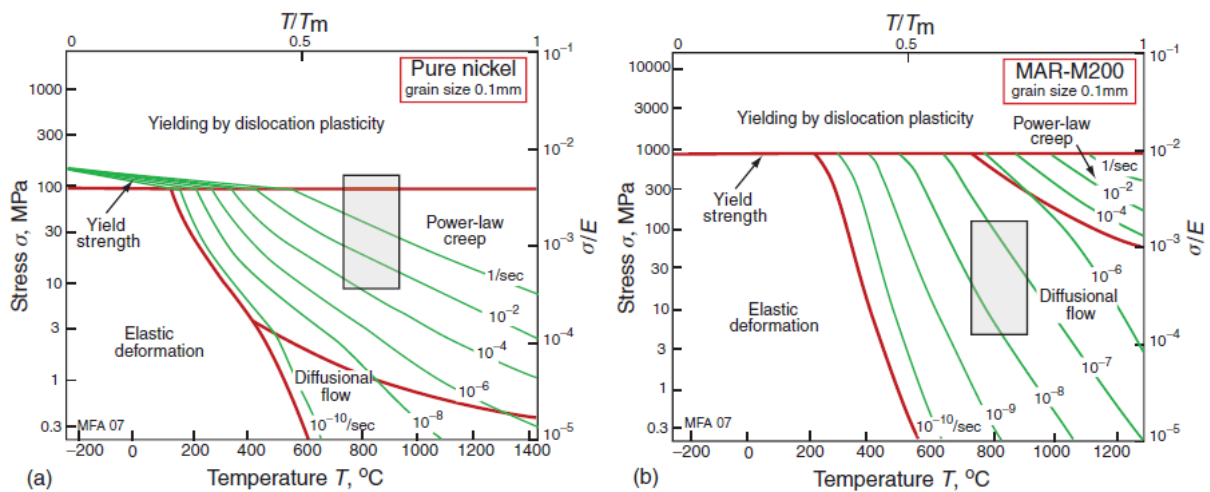
gdzie:  $\dot{\epsilon}_0$ ,  $\sigma_0$ ,  $n$ ,  $Q_c$  - stałe. Mając te 4 wielkości, możliwe jest policzenie tempa odkształcania dla dowolnych naprężeń i temperatur.

W trakcie pełzania materiał będzie ulegał ciągłemu niszczeniu - wszystkie szczeliny i pustki będą stopniowo się rozrastać i łączyć, zmniejszając przekrój próbki i prowadząc do koncentracji naprężeń. Oczywiście, będzie się to odbijało na żywotności materiału. Zależność tą można wyrazić za pomocą krzywych naprężenie-pęknięcie (*stress - rapture curve*):



**Fig. 9.2.** Przykładowe krzywe naprężenie - pęknięcia. Obie osie są logarytmiczne.

Patrząc na to jak mocny może być wpływ zjawiska pełzania na żywotność próbki, pojawia się pytanie - od którego momentu musimy zacząć je uwzględniać? Dla metali temperatura początku pełzania wynosi około  $T = 0.35T_m$ , podczas gdy dla ceramiki  $T = 0.45T_m$ . Należy tutaj jednak zauważyć, że w przypadku metali odpowiednie zaprojektowanie struktury fazowej materiału może znacząco podnieść tą temperaturę. Zobrazować można to za pomocą mapy naprężenia w funkcji temperatury. Tego typu wykres umożliwia zidentyfikowanie dominującego mechanizmu pełzania, w zależności od tempa odkształcania. Na poniższym rysunku przedstawione zostały mapy dla czystego niklu oraz superstopu MAR-M200 na jego bazie:



**Rys. 9.3.** Mapa naprężenia w funkcji temperatury dla a) czystego niklu b) superstopu MAR-M200. Dla tego samego zakresu naprężeń (szary prostokąt), stosunek szybkości odkształcania wynosi około  $10^6$  na korzyść superstopu.

Jak można zauważyć, oprócz niemal 10-krotnie wyższej zdolności do przenoszenia naprężeń, superstop cechuje się znacznie szerszym zakresem, dla którego pełzanie ma charakter czysto dyfuzyjny. Oznacza to, że może przenosić takie same i większe naprężenie co nikiel, odkształcając się od niego znacznie wolniej. O ile wolniej? Gdy porównamy podobny zakres naprężeń 10-100 MPa możemy zauważyć, że super stop będzie odkształcał się  $10^6$  razy wolniej niż nikiel (!). Trudno zatem się dziwić, dlaczego superstopy cieszą się tak wielką popularnością w przemyśle lotniczym, gdzie odporność na działanie wysokich temperatur ma kluczowe znaczenie.